

УДК 539.374

© 2000 г. Д.Д. ИВЛЕВ, Л.А. МАКСИМОВА

**О ВДАВЛИВАНИИ ИНДЕНТОРА  
В ИДЕАЛЬНУЮ ЖЕСТКОПЛАСТИЧЕСКУЮ ПОЛОСУ**

Предельное состояние идеального жесткопластического тела при одной и той же предельной нагрузке может допускать различную кинематику деформирования. На эти возможности указал Хилл [1], на примере решения Прандтля о вдавливании жесткого штампа в пластическое полупространство. В дальнейшем это обстоятельство обсуждалось в [2–5]. Онат и Прагер [6] рассмотрели кинематику течения растягиваемой полосы из идеального жесткопластического материала, когда пластическое течение локализуется в виде шейки. Ниже рассматриваются обобщения течения, приведенного в [6], применительно к вдавливанию индентора в полосу из идеального жесткопластического материала. В пределе имеет место решение Оната и Прагера [6]. Отметим решение задачи о полосе с возмущенными границами, данное А.Ю. Ишильским [7].

1. Рассмотрим течение плоской полосы шириной  $2h$  из идеального жесткопластического материала (фиг. 1). Условие пластичности

$$(\sigma_x - \sigma_y)^2 + 4\tau_{xy}^2 = 4k^2, \quad k - \text{const} \quad (1.1)$$

где  $\sigma_x, \sigma_y, \tau_{xy}$  – компоненты напряжения в декартовой системе координат, оси координат направлены, как указано на фиг. 1.

Для рассматриваемой полосы

$$\sigma_x = 2k, \quad \sigma_y = \tau_{xy} = 0 \quad (1.2)$$

Поле скоростей перемещений определяется из условий несжимаемости и изотропии

$$\varepsilon_x + \varepsilon_y = 0, \quad (\sigma_x - \sigma_y)\varepsilon_{xy} = (\varepsilon_x - \varepsilon_y)\tau_{xy} \quad (1.3)$$

где  $\varepsilon_x, \varepsilon_y, \varepsilon_{xy}$  – компоненты скорости деформации. Имеет место

$$\varepsilon_x = \frac{\partial u}{\partial x}, \quad \varepsilon_y = \frac{\partial v}{\partial y}, \quad \varepsilon_{xy} = \frac{1}{2} \left( \frac{\partial u}{\partial y} + \frac{\partial v}{\partial x} \right) \quad (1.4)$$

где  $u, v$  – компоненты скоростей перемещения.

Предположим, что прямая  $L$  (фиг. 2) является линией действия максимальных касательных напряжений  $\tau = k$ , характеристикой. Компоненты скорости перемещения, нормальные к характеристикам, непрерывны, касательные компоненты скорости перемещения могут терпеть разрыв. При разрыве в результате возникающего сдвига, на характеристиках происходит пластическое деформирование материала. Предположим, что слева от  $L$  материал движется со скоростью  $V_1$ , справа скорость материала  $V_2$ . Из условия равенства нормальных компонент скорости следует

$$V_1 \sin \alpha = V_2 \sin \beta \quad (1.5)$$

Рассмотрим прямоугольник  $ABCD$  (фиг. 2). За единицу времени точка  $A$  сместится в положение  $A_1$ , точка  $B$  займет положение  $B_1$ , точка  $C$  – положение  $C_1$ , линия  $BC$  – положение  $B_1C_1$ . В следующий момент времени точка  $A$  займет положение  $A_2$ , точки  $B_1, C_1, D_1$  соответственно положения  $B_2, C_2, D_2$ , прямоугольник  $ABCD$  деформируется в параллелограмм  $A_2B_2C_2D_2$ . Очевидно, их площади равны между собой. Величина сдвига определяется углом  $\varphi$  (фиг. 2), имеет место равенство

$$\operatorname{tg} \varphi = \frac{2 \sin^2 \beta}{\sin 2\alpha + \sin 2\beta} \quad (1.6)$$

Величина разрыва касательных компонент скорости на линии  $L$  равна

$$[V] = \frac{V_1}{\sin \alpha} \sin(\alpha + \beta) = \frac{V_2}{\sin \beta} \sin(\alpha + \beta) \quad (1.7)$$

В работе [6] рассмотрено деформирование полосы с образованием локального утоньшения – шейки, когда части полосы  $AOBE, CODF$  (фиг. 1) движутся как жесткое целое вправо и влево со скоростями  $V = 1$  относительно начала координат. Материал в областях  $AOC, BOD$  движется как жесткое целое соответственно вертикально вниз и вверх. Промежуточное положение показано на фиг. 3 (верхняя часть полосы). Первоначальная свободная граница материала  $AC$  займет положение  $ef$ . Материал, занимавший первоначально положение квадрата  $abcd$  займет положение параллелограмма  $a_2b_2c_2d_2$ . Очевидно, треугольникам  $Aab, bce$  соответствуют треугольники  $A_2a_2b_2, b_2c_2e_2$ . Отметим, что  $Ad = de = AA_2$ . Область пластически деформированного материала в момент разрыва на фиг. 3 заштрихована. В случае, рассмотренном в [6],  $\alpha = \beta = \pi/4$ , согласно (1.6)  $\operatorname{tg} \varphi = 1/2$ . Можно предположить, что скорость движения материала в области  $AOC$  направлена под углом  $\alpha$  к оси  $y$  (фиг. 4). Из условия равенства нормальных скоростей движения на  $AO$  и  $CO$  получим, что жесткая часть материала  $AOE$  движется вправо относительно начала координат со скоростью

$$V_1 = V(\cos \alpha + \sin \alpha) \quad (1.8)$$

жесткая часть материала  $COF$  – влево со скоростью

$$V_2 = V(\cos \alpha - \sin \alpha) \quad (1.9)$$

Области пластического деформирования в момент разрыва на фиг. 4 заштрихованы, причем  $MA = AA_1, CM = C_1C$ . Из (1.8), (1.9) следует

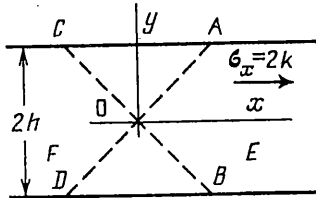
$$V = \frac{\sqrt{2}}{2} \sqrt{V_1^2 + V_2^2}, \quad \operatorname{tg} \alpha = \frac{V_1 - V_2}{V_1 + V_2} \quad (1.10)$$

Согласно (1.10) скорости движения жестких частей материала  $V_1, V_2$  относительно начала координат (точки разрушения материала) определяют величину  $V$  и направление скорости движения  $\alpha$  в зоне пластически деформируемого материала. При  $\alpha = \pi/4$  согласно (1.8), (1.9)  $V_2 = 0$ , скольжение материала происходит вдоль линии  $CO$ . Конечное положение деформирования показано на фиг. 5.

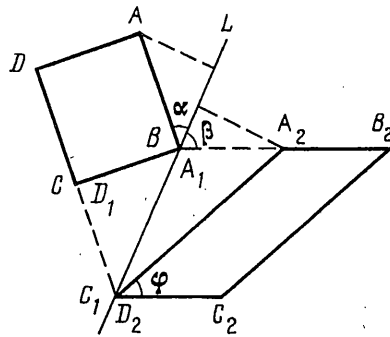
Величины  $V, \alpha$  могут быть переменными и зависеть от параметра  $\lambda$  (1.5), характеризующего, например глубину шейки в области пластического деформирования (фиг. 3). В этом случае приращение перемещения свободной границы жесткой области вдоль направления растяжения (ось  $x$ ) определяется согласно (1.8), (1.9):

$$ds_1 = V_1 d\lambda = V(\lambda)(\cos \alpha + \sin \alpha) d\lambda \quad (1.11)$$

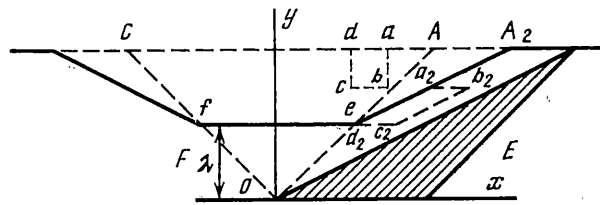
$$ds_2 = V_2 d\lambda = V(\lambda)(\cos \alpha - \sin \alpha) d\lambda, \quad \alpha = \alpha(\lambda)$$



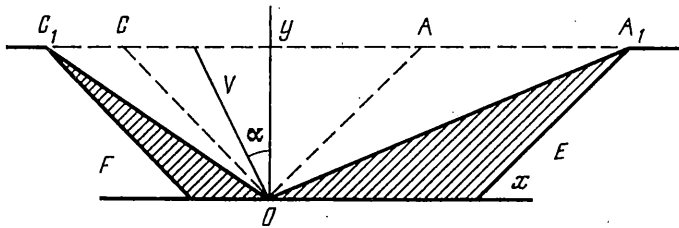
Фиг. 1.



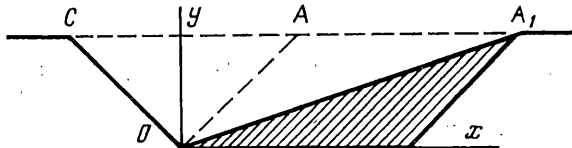
Фиг. 2



Фиг. 3



Фиг. 4



Фиг. 5

Очевидно,

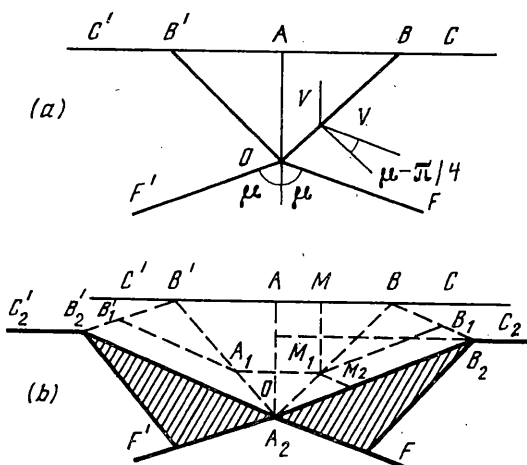
$$V(\lambda) \cos \alpha d\lambda = dy \quad (1.12)$$

Интегрируя выражение (1.9), (1.10) в пределах от  $\lambda$  до  $y$ , получим

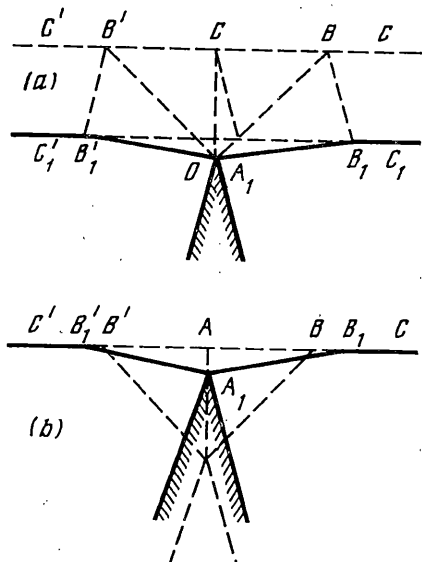
$$S_1(y) = y - \lambda + S, \quad S_2(y) = y - \lambda - S \quad (1.13)$$

$$S = \int_{\lambda}^y V \sin \alpha d\lambda, \quad S_1(\lambda) = S_2(\lambda) = S(\lambda) = 0$$

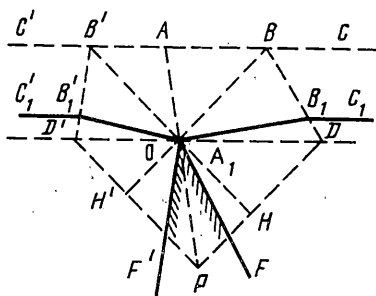
2. Предположим, что первоначальное положение пластического материала (фиг. 6, а) ограничено прямыми  $C'C$ ,  $F'OF$ , причем по  $F'OF$  имеет место жесткое гладкое основание. Предположим, что раствор угла  $F'OF$  равен  $2\mu$ . Предположим далее, что очаг пластического материала имеет место в зоне  $BOB'$ , в которой постоян-



Фиг. 6



Фиг. 7



Фиг. 8

ная скорость движения  $V$  направлена вдоль  $AO$ . Жесткая часть материала  $CBOF$  движется со скоростью  $V_1$  вдоль  $OF$ , жесткая часть материала  $C'B'OF$  движется со скоростью  $V_1$  вдоль  $OF'$ . Из условия равенства нормальных компонент скорости  $V$  и  $V_1$  на границах  $BO$ ,  $B'O$  будем иметь

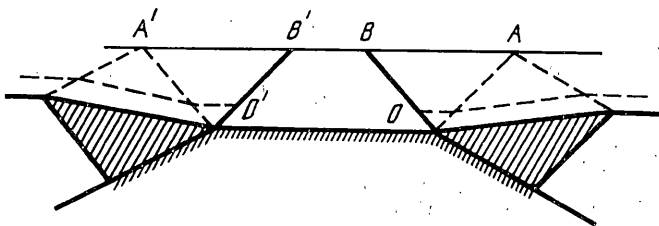
$$V \cos(\pi/4) = V_1 \cos(\mu - \pi/4) \quad (2.1)$$

Очевидно, что рассмотренный выше случай образования шейки в растягивающем образце имеет место при  $\mu = \pi/2$ . На фиг. 6, б показано положение материала в момент разрыва, при котором точка  $A$  достигает положения точки  $O$ . Промежуточное состояние показано на фиг. 6, в линией  $B'_1M'_1A_1M_1B_1$ , окончательное – линией  $C'_2B'_2A_2B_2C_2$ . Если обозначить  $AO = h$ ,  $BB_2 = S$ , то, согласно (1):

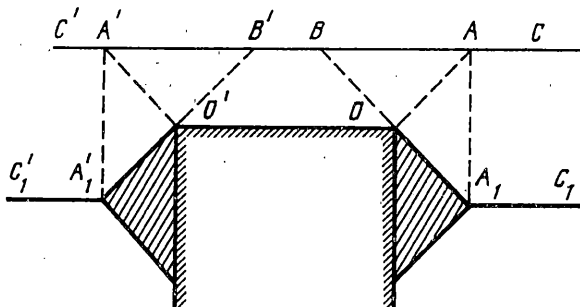
$$S = \frac{\sqrt{2}h}{2 \cos(\mu - \pi/4)} \quad (2.2)$$

Очевидно, ширина шейки равна

$$B_1B'_2 = 2B_2D = 2h \left( 1 + \frac{\sqrt{2}}{2} \frac{\sin \mu}{\cos(\mu - \pi/4)} \right) \quad (2.3)$$



Фиг. 9



Фиг. 10

глубина шейки характеризуется величинами

$$AD = S \cos \mu, \quad OD = h \left( 1 - \frac{\sqrt{2}}{2} \frac{\cos \mu}{2 \cos(\mu - \pi/4)} \right) \quad (2.4)$$

На фиг. 7, а показано деформирование материала при достаточно малом угле растора  $\mu$  режущего инструмента F'OF.

На фиг. 7, в тот же процесс представлен в обратном виде: линия C'C фиксирована и деформирование осуществляется за счет внедрения индентора.

Рассмотрим случай несимметричного индентора (фиг. 8). Часть материала движется как жесткое целое со скоростью, направленной вдоль OF. Предположим, что вектор скорости совпадает с отрезком BD. Часть материала C'B'OF' движется как жесткое целое со скоростью, направленной вдоль OF'. Предположим, что вектор скорости совпадает с отрезком B'D'. В этом случае вертикальные компоненты скорости равны и полупрямые CB, C'B' смещаются параллельно себе по вертикали с одной скоростью.

Компоненты скорости, нормальные к отрезкам BO, B'O, ограничивающим очаг пластического деформирования BOB', определяются отрезками OH, OH'. Таким образом, скорость в очаге пластического деформирования определяется вектором OP.

В момент окончания деформирования точка A займет положение A', аналогично другие точки займут соответствующие положения с индексом единица. Очевидно, AB = BC, AB' = B'C'. Обращая движение, рассмотренный процесс можно интерпретировать как вдавливание жесткого индентора в идеально-пластическую среду.

На фиг. 9 показан случай пробоя пластического слоя затупленным индентором. Жесткий материал движется вдоль линий OF, O'F', в очагах пластического деформирования ABO, A'O'B' скорость пластического материала направлена соответственно вдоль линий BO, B'O', часть материала BOOB' остается жесткой, показано конечное положение материала, области деформированного состояния материала защищованы.

На фиг. 10 показан случай индентора с вертикальными стенками, область деформированного состояния материала защищована.

## СПИСОК ЛИТЕРАТУРЫ

1. Хилл Р. Математическая теория пластичности. М.: Гостехиздат, 1956. 407 с.
2. Жалнин В.А., Ивлев Д.Д. К теории вдавливания штампа в пластическую среду // ПМТФ. 1960. № 3. С. 214–216.
3. Быковцев Г.И. О поле скоростей при вдавливании плоского штампа в пластическое полупространство // ПММ. 1961. Т. 25. Вып. 3. С. 552–553.
4. Кузнецов А.И. Замечание о теории вдавливания штампа в пластическую среду // ПМТФ. 1962. № 1. С. 162–163.
5. Ивлев Д.Д. Теория идеальной пластичности. М.: Наука, 1966. 231 с.
6. Онат Е., Прагер В. Образование шейки при плоском течении растягиваемого плоского образца // Механика. Сб. перев. и обзоров иностр. период. лит. 1955. № 4. С. 93–97.
7. Ишилинский А.Ю. Растяжение бесконечно длинной идеально-пластической полосы переменного сечения // Док. АН УР СР, Киев: 1958. № 1. С. 12–15.

Чебоксары

Поступила в редакцию  
8.10.1998